

Eine PDGL zur Bewertung von Zinsderivaten

Peter Kohl-Landgraf

Universität Bayreuth, 05.02.2007

Drei Aspekte

- 1 Zusammenhang zwischen Stochastik und PDGL
- 2 Einblick in die Modellierung der Renditekurve
- 3 Numerik der Bewertungs-PDGL

1 Grundlagen

- Was ist Finanzmathematik?
- Stochastische Prozesse
- Markovsche Prozesse und PDEs

2 Zinsmarkt und Modelle

- Die Rendite Kurve
- Stochastische Zinsen
- Das Heath-Jarrow-Morton Modell (1992)

3 Das Cheyette Modell

- Idee: Separierbare Volatilität
- Bewertungs-PDGL

4 Implementierung

- Finite Differenzen
- Das ADI-Verfahren
- Randverhalten
- Ergebnisse

Motivation für Modelle

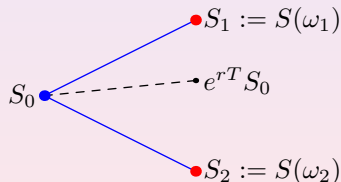
- Verschiedene Finanzmärkte:
- Aktienmarkt, Zinsmarkt = Wertpapiermärkte
- Optionen, Futures = Derivative Märkte
- Option: $\Phi(S) = \max[S - K, 0]$
 - Standard Strukturen \Rightarrow Preis = Angebot + Nachfrage
 - Exotische Strukturen \Rightarrow Preis = ??
- Ansatzpunkt: Mathematisches Modell = **Extrapolation**

Grundprinzipien

- **Ungewissheit**: Stochastisches Modell
- **Arbitrage-Freiheit**: Risiko-Neutrale Bewertung (Black & Scholes)

Risiko-Neutrale Bewertung durch Replikation

- Betrachte simplifizierten Markt (Ω, \mathcal{F}, P) mit:
 - $\Omega = \{\omega_1, \omega_2\}$
 - subjektiven Wskeiten: $P(\{\omega_1\}) = p$, und $P(\{\omega_2\}) = 1 - p$
 - Zwei Zeitpunkte: $t = 0$ und $t = T$
- Vorhandene Quantitäten: **Geld** $D(0, T) = e^{-rT}$ mit $D(T, T) = 1$
- **Aktie** S :



- Option zur Zeit T : $\Phi(S) = \max(S - K, 0) \Rightarrow$ **Wert** V_0 ?

- Intuitiver Bewertungsansatz:

$$V_0^{\text{Option}} = D(0, T) \mathbb{E}^P[\Phi(\cdot)] = e^{-rT} [p\Phi_1 + (1-p)\Phi_2]$$

- \Rightarrow Leider falsch, denn ...
- $\Phi(\cdot)$ kann durch geeignetes Portfolio P repliziert werden
- Portfolio (ϕ, ψ) mit:

$$V_t^P = \phi S_t + \psi D(t, T) \quad t = 0, T$$

$$\left. \begin{array}{l} \phi S_1 + \psi = \Phi_1 \\ \phi S_2 + \psi = \Phi_2 \end{array} \right\} \text{Löse LGS} \Rightarrow V_0^P = \bar{\phi} S_0 + \bar{\psi} D(0, T)$$

Risiko-Neutrale Wahrscheinlichkeit

$$V_0^{\text{Option}} = e^{-rT} \underbrace{[q\Phi_1 + (1-q)\Phi_2]}_{:=\mathbb{E}^{RN}[\Phi(\cdot)]} \quad \text{mit} \quad q := \frac{S_0 e^{rT} - S_2}{S_1 - S_2}$$

- Betrachte Ws-Raum (Ω, \mathcal{F}, P) mit **Filtration** $\{\mathcal{F}_t\}$
- Stochastischer Prozess: $X : [0, \infty) \times \Omega \rightarrow \mathbb{R}^n$, $X_t(\omega) \in \mathbb{R}^n$
- **Ito-Prozess** X_t ist Lösung einer SDE:

$$dX_t = a(t, \omega)dt + \underbrace{\sigma(t, \omega)}_{\text{Brownsche Bewegung}} dW$$

Wichtige Klassen von Prozessen:

- 1 **Bedingte Erwartung** für zukünftigen Zeitpunkt T :

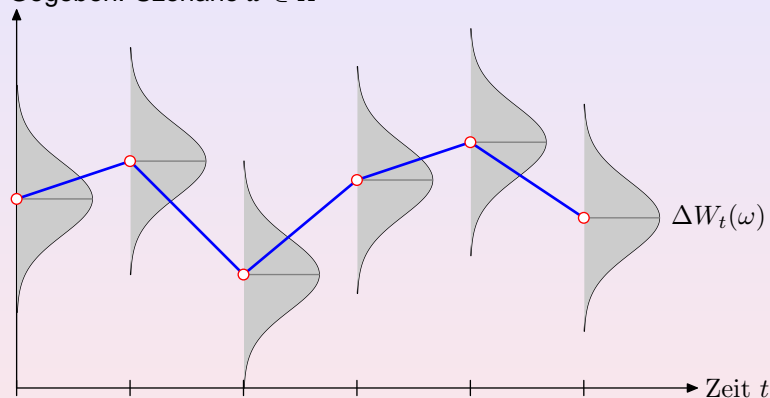
$$V_t := \mathbb{E}[X_T | \mathcal{F}_t] \quad t \leq T$$

- 2 **Markovsche SDEs:**

$$dX_t = a(t, X_t)dt + \sigma(t, X_t)dW \quad \Rightarrow \quad \text{Markovsche Ito Prozesse}$$

Brownsche Bewegung

Gegeben: Szenario $\omega \in \Omega$



Markov Eigenschaft

Ein stochastischer Prozeß $\{X_t\}$ ist Markovsch, wenn:

$$\mathbb{E}\left[X_T \mid X_1 = x_1 \cap \dots \cap X_t = x\right] = \mathbb{E}\left[X_T \mid X_t = x\right]$$

Wichtige Gleichung (Hier: Diskreter Zustandsraum S)

- Rückwärts-Gleichung: **Bedingte Erwartungswerte**

$$\mathbb{E}[\Phi(X_T) \mid X_t = x] = \sum_{y \in S} \mathbb{E}[\Phi(X_T) \mid X_{t+1} = y] P(X_{t+1} = y \mid X_t = x)$$

Theorem (Feynman-Kac)

Sei X_t ein n -dim Markovscher Ito Prozess:

$$dX_t = a(t, X_t)dt + \sigma(t, X_t)dW$$

Gegeben: $\Phi, r : \mathbb{R}^n \mapsto \mathbb{R}$ sowie

$$V(t, x) := \mathbb{E} \left[\exp \left(- \int_t^T r(X_\tau) d\tau \right) \Phi(X_T) \middle| X_t = x \right]$$

Dann löst V :

$$\frac{\partial V}{\partial t} + \mathcal{L}V = rV, \quad V(T, x) = \Phi(x), \quad x \in \mathbb{R}^n$$

mit infinitesimalem Generator \mathcal{L} :

$$\mathcal{L}V(t, x) = \sum_{i=1}^n a_i(t, x) \frac{\partial V}{\partial x_i} + \frac{1}{2} \sum_{i=1}^n \sigma_i^2(t, x) \frac{\partial^2 V}{\partial x_i^2}$$

Praktische Anwendungen

- PDE in kleinen Dimensionen schneller als MonteCarlo
- Rückwärts-Bewertung (Bedingte Erwartung)

Motivation: Early Exercise Produkte

- \Rightarrow **Optimales Steuerungsproblem**
- Markovsche Struktur: **Dynamisches Optimierungsprinzip**
- Gegeben Stoppzeit T_i und $x \in \mathcal{S}$:

$$V(x) = \max \left[\Phi(x), \quad \mathbb{E}^{RN} [D(T_i, T_{i+1})\Phi(\cdot) | X_{T_i} = x] \right]$$

- \Rightarrow Bellmann'scher Rückwärts-Algorithmus

Definitionen

- Zins-Produkt mit Zins r^*
Zeitintervall $[0, T]$, n Perioden, Marktzins $R(t)$:

$$\text{Preis} \times \left[1 + \frac{[R(t) - r^*] T}{n} \right]^n \stackrel{!}{=} 1$$

- Zero-Coupon Bond, Zeitwert $P(t, T)$ mit $P(T, T) = 1$
- **Diskontfaktor-Kurve:**

$$T \mapsto P(t, T)$$

- **Terminzinsen:** Zins für Anlage über $T_2 - T_1$, $T_1 \leq t$
- Terminzins $F(t; T_1, T_2)$:

$$\frac{P(t, T_2)}{P(t, T_1)} \left[1 + \Delta_T \mathbf{F}(t; \mathbf{T}_1, \mathbf{T}_2) \right] = 1$$

Definitionen

- Instantaner Termin-Zins $\lim_{T_2 \rightarrow T_1} F(t; T_1, T_2)$:

$$f(t, T) := -\frac{\partial \log P(t, T)}{\partial T} \Rightarrow P(t, T) = \exp \left[-\int_t^T f(t, \tau) d\tau \right]$$

- Rendite-Kurve zur Zeit t :

$$T \mapsto f(t, T)$$

- Kurz-Zins:

$$r(t) := f(t, T) \Big|_{T \rightarrow t}$$

- Diskontfaktor

$$D(t, T) := \exp \left[-\int_t^T r(\tau) d\tau \right]$$

Stochastische Zinsen

Risiko-Neutrale Bewertung

Wert einer Zahlung $\Phi(\cdot)$ zum Zeitpunkt T :

$$V_t = \mathbb{E}^{RN} \left[\underbrace{\exp \left[- \int_t^T r(X_\tau) d\tau \right]}_{=D(t,T)} \Phi(X_T) \middle| \mathcal{F}_t \right]$$

Modell-Ansatz

Modelliere Renditekurve:

$$T \mapsto f(t, T)$$

Risiko-Neutrale Bewertung ist moeglich!

Keine Arbitrage zwischen Bonds $P(t, T_i), P(t, T_j), i \neq j$

Theorem (HJM)

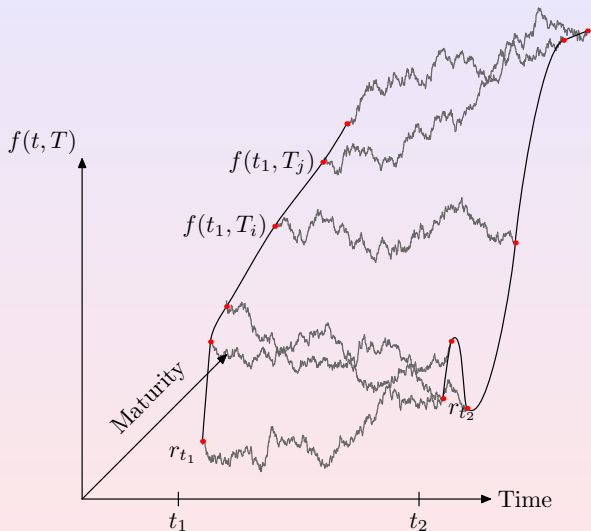
Im risiko-neutralen Mass ist die Dynamik eines Terminzinses $f(t, T)$ gegeben durch:

$$df(t, T) = \left[\sigma_f(t, T) \int_t^T \sigma_f(t, \tau) d\tau \right] dt + \sigma_f(t, T) dW^{RN}$$

mit Anfangsbedingung:

$$f(0, t) = f^{Markt}(0, t)$$

Dynamik der Renditekurve



ZIELE

- 1 Beschreibung der Dynamik der Renditekurve in möglichst **wenig Zustandsvariablen**.
- 2 Implizierte Dynamik für r_t soll **Markovsch** sein.

Ansatzpunkt

- Framework-Charakter von HJM begründet sich aus $\sigma_f(t, T)$
- Spezifikation von $\sigma_f(t, T)$?

Markovsche Rendite-Kurve

- Sei $\sigma_f(t, T)$ gegeben durch:

$$\sigma_f(t, T) = \eta_t \exp \left[- \int_t^T \kappa(\tau) d\tau \right]$$

- Dann wird die HJM-Dynamik von $f(t, T)$ bestimmt durch das Markovsche System:

$$dX_t = [Y_t - \kappa(t)X_t] dt + \eta_t dW_t^{RN}$$

$$dY_t = [\eta_t^2 - 2\kappa(t)Y_t] dt$$

- Der kurzfristige Zins ist dabei Markovsch:

$$r_t = X_t + f(0, T)$$

Zwischenstand

Wir haben ...

- Rendite-Kurven Dynamik = 2-dimensionales SDE System
- Markovscher Kurz-Zins $\Rightarrow D(t, T)$ Markovsch
- Damit:

$$V_t = \mathbb{E}^{RN} [D(t, T)\Phi(\cdot)|\mathcal{F}_t] = \mathbb{E}^{RN} [D(t, T)\Phi(\cdot)|\mathbf{X}_t, \mathbf{Y}_t]$$

- \Rightarrow Feynman-Kac anwendbar !!
- 2-dimensionale Dynamik \Rightarrow 2 Raumdimensionen der PDGL
- Modell-Erweiterung \Rightarrow 3 Ortsdimensionen

- Gegeben Payoff $\Phi(\cdot)$
- Wert V zum Zeitpunkt t

$$V(t; x, y) = \mathbb{E}^{RN} \left[\exp\left(-\int_t^T r_\tau d\tau\right) \Phi(X_T, Y_T) \middle| X_t = x, Y_t = y \right]$$

- Feynman: V löst folgende PDGL

$$0 = \frac{\partial V}{\partial t} + [y - \kappa x] \frac{\partial V}{\partial x} + \frac{1}{2} \eta_t^2 \frac{\partial^2 V}{\partial x^2} - \underbrace{[f(0, t) + x]}_{=r} V + [\eta_t^2 - 2\kappa y] \frac{\partial V}{\partial y}$$

- Analytische Lösung ... ?
- \Rightarrow Bond löst PDGL mit $\Phi \equiv 1$

Numerik: Finite Differenzen

- 1 Diskretisierung
- 2 Mehrere Dimensionen
- 3 Randverhalten

Vorgehen

Gegeben N -dim Konvektions-Diffusions-PDE

$$\frac{\partial u}{\partial t} + \sum_{i=1}^N D_{x_i} u = 0 \quad \text{mit} \quad D_{x_i} := a_i \frac{\partial}{\partial x_i} + \frac{1}{2} \sigma_i^2 \frac{\partial^2}{\partial x_i^2}$$

- Bilde **Gitter**, approximiere

$$u(t, x_1, \dots, x_n) := U(n\Delta t, m_1 \Delta x_1, \dots, m_N \Delta x_N)$$

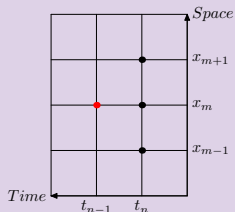
- **Differenzenoperatoren \bar{D}_x** mittels Taylor-Expansion

FD Matrix-Schema

$$\frac{U_i^n - U_i^{n-1}}{\Delta t} + \sum_{i=1}^N \bar{D}_{x_i} U^{n/n-1} = 0$$

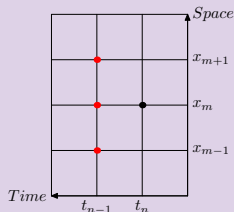
Standard Schemata $N = 1$

Explizit



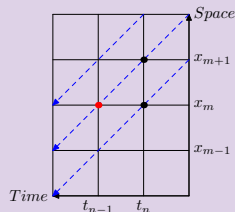
- RückwärtsGl.
- Bed. Stabil
- Iteration
- $O(\Delta t) + O(\Delta x^2)$

Implizit



- Stabilität
- 1 LGS / Δt
- Aufwand $O(m)$
- $O(\Delta t) + O(\Delta x^2)$

Upwind $a < 0$

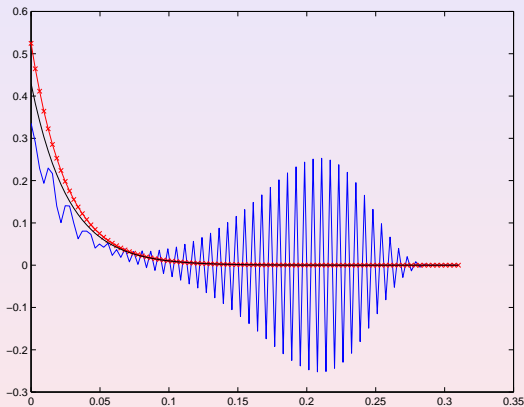


- $\frac{\partial u}{\partial t} + a \frac{\partial u}{\partial x} = 0$
- Stabilität
- K. Diffusion
- $O(\Delta t) + O(\Delta x)$

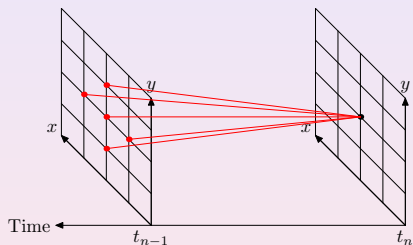
Anwendung auf Bewertungs-PDGL

- 3 Stützpunkte: Quadratische Konvergenz + Schnelligkeit
- Problem: Keine Diffusion in zweiter Ortsrichtung
- \Rightarrow Oszillierendes Verhalten
- **Idee:** Künstliche Diffusion
- \Rightarrow Upwind-Diskretisierung

Bond Preis - 2. Ortsrichtung



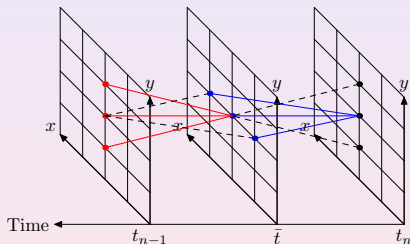
Finite Differenzen für $N = 2$



Intuitiv

- Gitter-Dimension
 $d = m \times n$
- 5-Punkte-Stern mit
- Konvergenz $O(\Delta^2)$
- Aufwand
 $O([m \times n]^q), \quad q \geq 1$

ADI = Alternating Direction Implicit



Eigenschaften

- **Idee: Predictor-Corrector**
- **Predictor:** n TriDiag-LGS der Dimension m
- **Corrector:** m TriDiag-LGS der Dimension n
- Predictor: Implicit in x -Richtung
Corrector: Implicit in y -Richtung
- Aufwand $O([m \times n])$ und ...
- Quadratische Konvergenz

Craig & Syned [1988]

Schema für $N = 2$

$$\text{Schritt I} \quad \left[\frac{1}{\Delta t} - \theta \hat{D}_x \right] U(\bar{t}) = \left[\frac{1}{\Delta t} + (1 - \theta) \hat{D}_x + \hat{D}_y \right] U(t_n)$$

$$\text{Schritt II} \quad \left[\frac{1}{\Delta t} - \theta \hat{D}_y \right] U(t_{n-1}) = \frac{1}{\Delta t} U(\bar{t}) - \theta \hat{D}_y U(t_n)$$

- Erweiterbar auf alle Dimensionen
- Variable Implizität θ

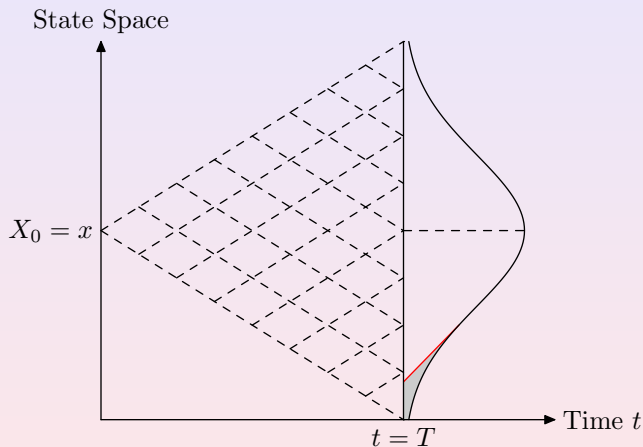
Randbedingungen (1)

- Problem: Feynman-Kac gilt auf \mathbb{R}^n
- Geeignetes Abschneiden erforderlich: **Wie?**
- Standard-BC: Dirichlet, Neumann
- Generisch: Numerische BC = **Lineare Extrapolation**

$$\frac{\partial^2 u}{\partial x^2} = 0$$

- Frage: **Wo** kann diese Bedingung angewendet werden?

Randbedingungen (2)



Produktbewertung

Produkt bestimmt End-Bedingung $\Phi(\cdot)$

Typische Auszahlungsprofile

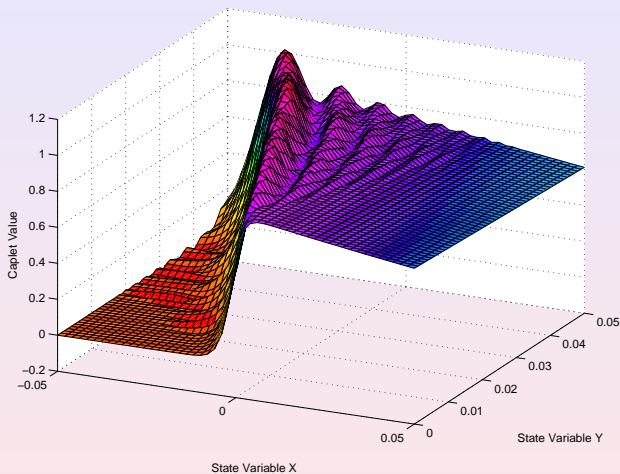
- Caplet:

$$\Phi_{\text{Caplet}}(L_i) = \max [L(T_i, T_{i+1}) - K, 0]$$

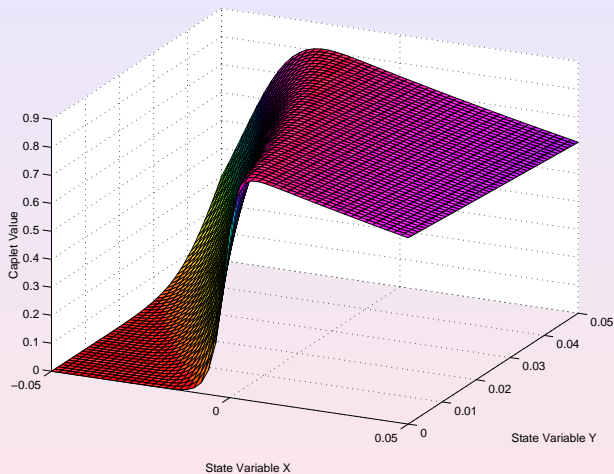
- Digital Caplet:

$$\Phi_{\text{DigitalCaplet}}(L_i) = \begin{cases} 1, & L(T_i, T_{i+1}) > K \\ 0, & L(T_{i-1}, T_{i+1}) \leq K \end{cases}$$

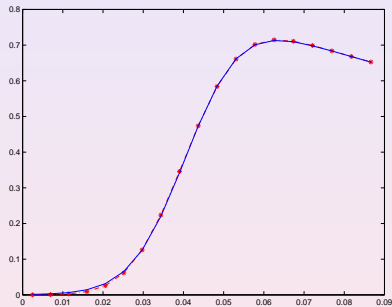
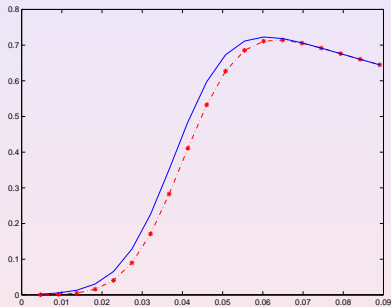
Digital Caplet mit Standard-Diskretisierung



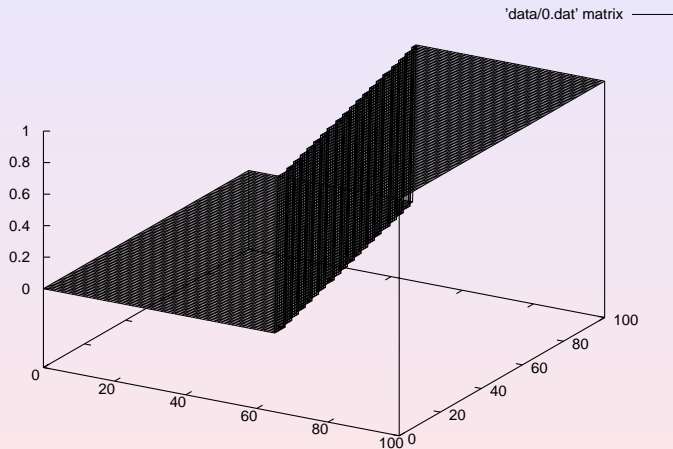
Digital Caplet mit Upwind-Diskretisierung



Konvergenz: Digital Caplet

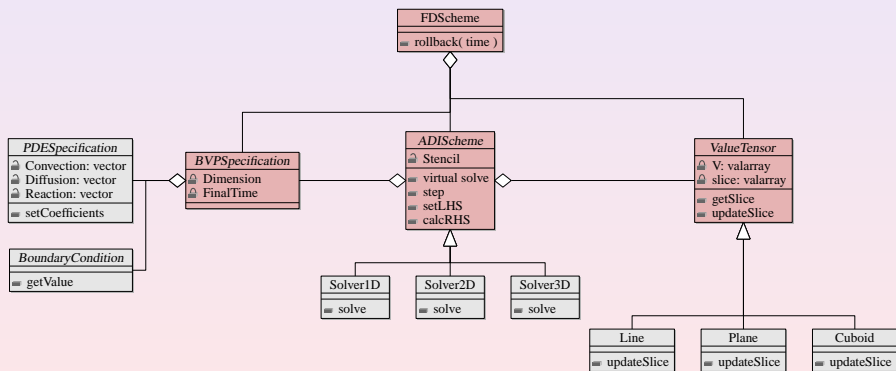


Dynamik der PDGL



C++ Klassen Entwurf

skip



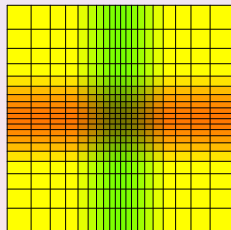
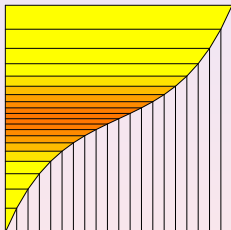
Zusammenfassung

Wir haben ...

- 1 ... Theoretischer Zusammenhang von SDEs und PDEs
- 2 ... Cheyette Modell = Markovsche Rendite-Kurve
- 3 ... einen effizienten FD-Löser für mehrere Dimensionen

Ausblick (1) - Numerik der PDGL

- Upwind-Schemata höherer Ordnung
- Nicht-Equidistante Gitter: Zeit + Ort



Ausblick (2) - Gesamtkontext

- Nutze Modell als **Extrapolation** !
- **Kalibrierung** der Modellparameter an:
 - 1 Zinsmarkt (d.h. Renditekurve)
 - 2 Standard Derivative Märkte
- Heuristiken, Quadratische Optimierung [...]

Vielen Dank für die Aufmerksamkeit !!!